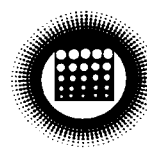


МАТЕРИАЛОВЕДЕНИЕ И ЗАЩИТА ОТ КОРРОЗИИ



Ф.Ф. Чусов (УдГУ); П.С. Дедюхин, директор Якшур-Бодьинского МППЖКХ;
О.А. Бартенев, канд. техн. наук, М.А. Плетнев, канд. хим. наук, Г.А. Раевская (УдГУ)

Распределение ингибиторов коррозии и накипеобразования в гидравлических сетях со сложной топологической структурой

Использование ингибиторов коррозии и накипеобразования — эффективный способ повышения долговечности и экономичности систем тепло- и водоснабжения [1, 2]. Большинство индивидуальных ингибиторов и ингибирующих систем дорогостоящи и работоспособны в определенном интервале концентраций [3, 4]. При снижении или повышении концентрации наблюдается повышение интенсивности коррозии и накипеобразования. Следовательно, равномерное распределение ингибитора по гидравлической сети — важнейшее условие эффективности данного способа борьбы с коррозией и накипеобразованием, а расчет поля концентраций ингибитора в гидравлической сети — актуальная задача.

Классический подход к решению этой задачи основан на расчете поля скоростей среды с последующим решением уравнения массопереноса. Для правильного учета конвективного массопереноса в трубопроводе поле скоростей должно быть определено решением уравнений Навье—Стокса в трехмерной области. В случае турбулентного течения (что обычно для инженерных гидравлических сетей) точное решение невозможно, в связи с чем представляет интерес усредненное поле концентраций.

Рассмотрим упрощенный подход к расчету концентрационного поля, который может быть использован для оценки равномерности распределения ингибитора в гидравлической сети со сложной топологической структурой.

Средняя по времени линейная скорость среды в цилиндрической трубе радиусом R на расстоянии r от оси трубы

$$\omega(r) = \frac{Q}{\pi R^2} \frac{n+2}{n} \left(1 - \frac{r^n}{R^n}\right), \quad (1)$$

где Q — расход среды; n — показатель степени, зависящий от гидравлического режима (известно [5], что в ламинарном режиме $n = 2$, а в установившемся турбулентном режиме $n \approx 8$).

Пусть в момент времени $t = 0$ на участке цилиндрической трубы (рис. 1) в сечении 1–1 (и слева от него) создается единичная концентрация ингибитора. Так как для гидродинамических режимов, свойственных инженерным гидравлическим сетям, характерная постоянная времени молекулярной диффузии значительно больше характерной постоянной времени конвективного массопереноса, в дальнейших выкладках влиянием молекулярной диффузии пренебрежем. С учетом этого граница между областями сред с единичной и нулевой концентрациями ингибитора описывается выражением $\lambda(r, t) = t\omega(r)$. Следовательно, в сечении 2–2, расположенным от сечения 1–1 на расстоянии l , средняя по сечению трубы концентрация ингибитора составит



Рис. 1. К расчету средней концентрации ингибитора в заданном сечении трубы

$$Y(l, R, Q, t) = \begin{cases} 0, & t < \frac{l\pi R^2}{Q} \frac{n}{n+2}; \\ \frac{r'^2}{R^2}, & t \geq \frac{l\pi R^2}{Q} \frac{n}{n+2}, \end{cases} \quad (2)$$

где r' — радиус, определенный из условия $\lambda(r', t) = l$.

Решая уравнение (1) относительно r и подставляя полученное решение в формулу (2), получим

$$Y(l, R, Q, t) = \begin{cases} 0, & t < \frac{l\pi R^2}{Q} \frac{n}{n+2}; \\ \sqrt[n/2]{1 - \frac{l\pi R^2}{tQ} \frac{n}{n+2}} \left[1 + \frac{l\pi R^2}{tQ} \frac{2}{n+2}\right], & t \geq \frac{l\pi R^2}{Q} \frac{n}{n+2}. \end{cases} \quad (3)$$

$$t \geq \frac{l\pi R^2}{Q} \frac{n}{n+2}.$$

Безразмерный комплекс $\frac{tQ}{l\pi R^2}$ в выражении (3) имеет физический смысл безразмерного времени и показывает отношение расхода среды через трубу к собственному объему трубы. Обозначив $\frac{tQ}{l\pi R^2} = T$, выражение (3) можно записать в виде, не зависящем от геометрических размеров трубы:

$$Y(T) = \begin{cases} 0, & T < \frac{n}{n+2}; \\ \sqrt[n/2]{1 - \frac{n}{T(n+2)} \left[1 + \frac{2}{T(n+2)}\right]}, & T \geq \frac{n}{n+2}. \end{cases} \quad (4)$$

Формула (4) описывает нормальную реакцию простейшей гидравлической сети (одна труба) на единичную загрузку (рис. 2). Она приближенно применима и для неразветвлен-

ленной гидравлической сети, содержащей местные сопротивления (повороты, сужения, расширения, краны, вентили, задвижки, выступающие края прокладок и т.п.), которые не влияют отрицательно на перемешивание и на равномерность распределения ингибитора в потоке.

На практике удобнее использовать функцию Грина $G(T) = \frac{dY(T)}{dT}$. Для неразветвленной гидравлической сети функция Грина определяется уравнением

$$G(T) = \begin{cases} 0, T < \frac{n}{n+2}; \\ \frac{2\left[1 - \frac{n}{T(n+2)}\right]^{\frac{2}{n}-1}}{T^3(n+2)}, T \geq \frac{n}{n+2}. \end{cases} \quad (5)$$

Если концентрация ингибитора на входе неразветвленной гидравлической сети изменяется во времени в соответствии с функцией $C_{in} = C_{in}(T)$, то на выходе она может быть определена по формуле

$$C_{out}(T) = \int_{-\infty}^{\infty} G(T-\tau) C_{in}(\tau) d\tau. \quad (6)$$

Перейдем к решению задачи для разветвленной сети (рис. 3, а). Разветвленная сеть состоит из неразветвленных отрезков и «тройников» (1, 2, 3, 4). В реальных сетях могут быть также четырех-, пятиветвевые и более сложные примыкания. Точное распределение концентраций ингибитора в «тройниках» зависит от многих факторов (диаметров и углов примыкания труб, формы кривых, сопрягающих края труб, выступающих внутрь кромок, сварочного гратта и т.п.). Эти факторы индивидуальны для каждой гидравлической сети и плохо поддаются контролю. Для оценки реальной картины поля концентраций рассмотрим два крайних случая.

Случай 1 («оптимистический»)

В каждом из «тройников» происходит полное усреднение состава потока. В этом случае каждый из участков (A, 1); (1, 2); (2, B₂, 3); (2, B₃, 3); (1, B₁, 4); (3, 4); (4, C)

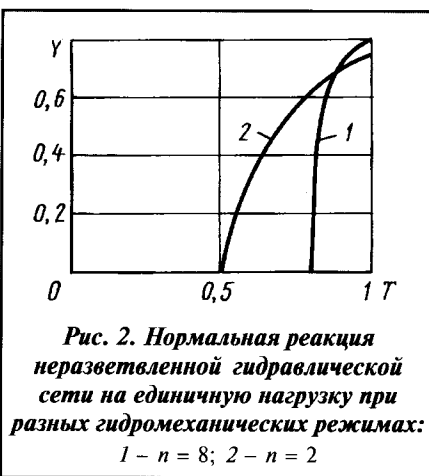


Рис. 2. Нормальная реакция неразветвленной гидравлической сети на единичную нагрузку при разных гидромеханических режимах:

$$1 - n = 8; 2 - n = 2$$

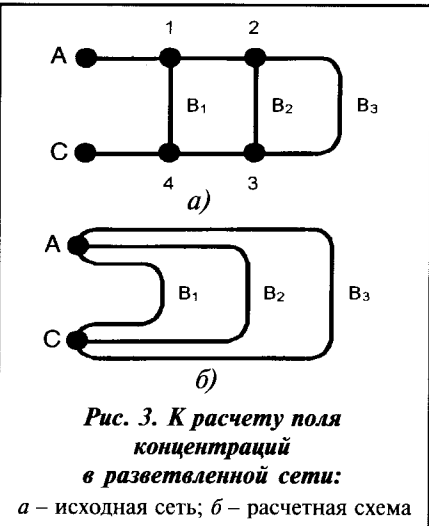


Рис. 3. К расчету поля концентраций в разветвленной сети:

а – исходная сеть; б – расчетная схема

описывается уравнением типа (6). Следовательно, если концентрация ингибитора в точке А изменяется во времени в соответствии с функцией $C_A = C_A(T)$, то концентрация ингибитора в точке С может быть рассчитана по формуле

$$\begin{aligned} C(T) = & \frac{1}{Q} \int_{-\infty}^{\infty} G_{(4,C)}(T-\tau_1) \times \\ & \times \left\{ \int_{-\infty}^{\infty} G_{(3,4)}(\tau_1-\tau_2) \int_{-\infty}^{\infty} [Q_2 G_{(2,B_2,3)} \times \right. \\ & \times (\tau_2-\tau_3) + Q_3 G_{(2,B_3,3)}(\tau_2-\tau_3)] \times \\ & \times \int_{-\infty}^{\infty} G_{(1,2)}(\tau_3-\tau_4) \int_{-\infty}^{\infty} G_{(A,1)}(\tau_4-\tau_5) \times \\ & \times C_A(\tau_5) d\tau_5 d\tau_4 d\tau_3 d\tau_2 + \\ & + Q_1 \int_{-\infty}^{\infty} G_{(1,B_1,4)}(\tau_1-\tau_4) \int_{-\infty}^{\infty} G_{(A,1)} \times \\ & \times (\tau_4-\tau_5) C_A(\tau_5) d\tau_5 d\tau_4 \left. \right\} d\tau_1, \quad (7) \end{aligned}$$

где Q_1, Q_2 и Q_3 – расход среды через ветви соответственно B_1, B_2 и B_3 ; $Q = \sum_{i=1}^3 Q_i$; $G_{(A, 1)}$; $G_{(1, 2)}$; $G_{(1, B_1, 4)}$; $G_{(2, B_2, 3)}$; $G_{(4, C)}$ – функции Грина для неразветвленных участков (A, 1); (1, 2); (1, B₁, 4); (2, B₂, 3); (2, B₃, 3); (3, 4) и (4, C).

Случай 2 («пессимистический»)

Потоки в каждой ветви гидравлической сети независимы друг от друга. Тогда вся гидравлическая сеть может быть представлена как параллельное соединение независимых друг от друга труб (рис. 3, б). Если концентрация ингибитора в точке А по-прежнему описывается функцией $C_A = C_A(T)$, то концентрация ингибитора в точке С описывается выражением

$$\begin{aligned} C_C(T) = & \frac{1}{Q} \int_{-\infty}^{\infty} \left\{ Q_1 G \left[(T-\tau) \frac{l_{\max}}{l_1} \right] + \right. \\ & + Q_2 G \left[(T-\tau) \frac{l_{\max}}{l_2} \right] + \\ & \left. + Q_3 G \left[(T-\tau) \frac{l_{\max}}{l_3} \right] \right\} C_A(\tau) d\tau, \quad (8) \end{aligned}$$

где l_i – полная длина i -й ветви сети (от источника до потребителя и обратно); l_{\max} – $\max(l_1, l_2, l_3)$.

Сравнивая рассмотренные случаи, можно сделать вывод, что следует пользоваться «пессимистической» оценкой. Во-первых, лучше недооценить равномерность распределения ингибитора, чем придерживаться «оптимистического» подхода и необоснованно считать распределение ингибитора более равномерным, чем оно является в действительности. Во-вторых, вычисления многократного интеграла (7) достаточно громоздки. Поэтому для оценочного расчета концентрации ингибитора на выходе из гидравлической сети со сложной топологической структурой, включающей N потребителей, можно предложить следующую формулу:

$$\begin{aligned} C_{out}(T) = & \int_{-\infty}^{\infty} C_{in}(\tau) \sum_{i=1}^N \frac{Q_i}{Q} G \left[(T-\tau) \frac{l_{\max}}{l_i} \right] d\tau, \quad (9) \end{aligned}$$

где $C_{in}(\tau)$ — концентрация ингибитора на входе гидравлической сети; Q_i — расход среды на i -го потребителя (для тепловых сетей — тепловая нагрузка i -го потребителя

$$Q = \sum_{i=1}^N Q_i; l_{max} = \max_{i=1, N} l_i.$$

Рассмотрим замкнутые гидравлические сети. Особенность их заключается в том, что выход сети соединен со входом при помощи ряда устройств (насосов, коллекторов, гравиевиков и т.п.), которые усредняют состав среды по сечению потока, но не изменяют общей концентрации ингибитора. Для замкнутых сетей справедливо следующее утверждение: равномерное распределение ингибитора по сети $C_{in} = C_{out} = \text{const}$ является асимптотически устойчивым. В этом случае уравнение (9) можно переписать в виде

$$C_{out}(T) = C_{in}(\tau) \int_{-\infty}^{\infty} \frac{Q_i}{Q} G\left[(T-\tau) \frac{l_{max}}{l_i}\right] d\tau,$$

эквивалентном очевидному тождеству

$$\int_{-\infty}^{\infty} \sum_{i=1}^N \frac{Q_i}{Q} G\left[(T-\tau) \frac{l_{max}}{l_i}\right] d\tau = 1.$$

При этом можно использовать разнообразные режимы дозирования ингибитора и простые и надежные дозирующие устройства эжекторного типа взамен сложных, ненадежных и дорогостоящих дозаторов инжекторного типа, содержащих механические насосы и приводы.

Было проведено исследование тепловой сети микрорайона поселка Якшур-Бодья (рис. 4), получены сведения о нагрузках и длинах каждой из 44 ветвей сети. Распределение концентрации ингибитора в сети, рассчитанное для различных способов дозирования ингибитора, представлено на рис. 5. Можно отметить, что даже при «запловом» дозировании ингибитора $[C_{in}(T) = \delta(T)$, где $\delta(T)$ — функция Дирака] (см. рис. 5, а) уже при $T \in [2, 3]$ отсутствуют резкие перепады концентрации ингибитора в сети, а при $T \in [6, 7]$ рас-

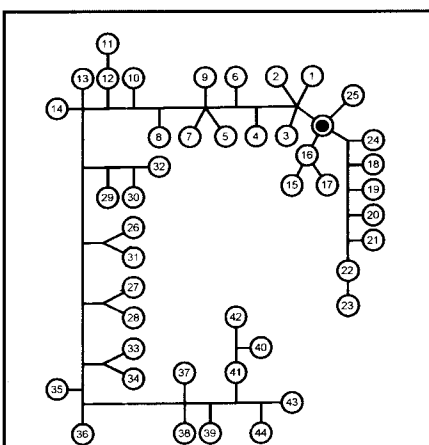


Рис. 4. Схема тепловой сети микрорайона поселка Якшур-Бодья:
— котельная; 1–44 – потребители

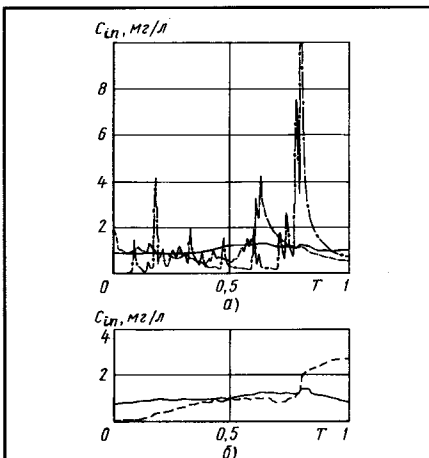


Рис. 5. Изменение концентрации ингибитора в обратном трубопроводе тепловой сети микрорайона поселка Якшур-Бодья:
а – при «запловом» дозировании;
б – при равномерном дозировании в интервале $T \in [0, 0,5]$; расчет по формуле (9): — — $T \in [0, 1]$; - - - $T \in [2, 3]$; - · - $T \in [6, 7]$

пределение ингибитора практически равномерное. При

$$C_{in}(T) = \begin{cases} 0, & T < 0 \\ 2, & 0 \leq T < 0,5 \\ 0, & T \geq 0,5 \end{cases}$$

(см. рис. 5, б) равномерное распределение ингибитора по сети достигается уже при $T \in [2, 3]$.

Переход к реальному масштабу времени t (ч) может быть осуществлен по формуле

$$t = \left(T \frac{V}{Q_h} \right), \quad (10)$$

где V — собственный объем сети, м^3 ; Q_h — производительность сетевого насоса, $\text{м}^3/\text{ч}$.

Так, для рассмотренной тепловой сети указанного микрорайона собственный объем составляет 160 м^3 , а производительность сетевого насоса $240 \text{ м}^3/\text{ч}$. Анализируя полученные результаты расчетов с учетом выражения (10), можно заключить, что при «запловом» дозировании ингибитора равномерное распределение его по сети достигается за период $T = 6$ (или в реальном масштабе времени по истечении 4 ч). При подаче полной дозы реагента в интервале $T = 0,5$ (или в течение 20 мин) равномерное распределение ингибитора достигается уже при $T = 2$ (или в течение 80 мин). Оба рассмотренных варианта вполне приемлемы с точки зрения эксплуатации тепловой сети и могут быть реализованы при использовании эжекторных дозаторов типа «Иж-25».

Таким образом, проведенные исследования позволили принять решение об использовании на тепловой сети микрорайона разработанных и выпускаемых Удмуртским государственным университетом недорогих и надежных дозаторов «Иж-25» и отказаться от сложных и дорогостоящих инжекторных дозаторов фирмы «Тензор» (г. Екатеринбург). Вероятно, при аналогичном подходе к расчету других гидравлических сетей можно также экономически оправдано решить проблему дозирования ингибитора.

Список литературы

- 1. Маргурова Т.Х.** Применение комплексов в теплоэнергетике. М.: Энергия, 1973.
- 2. Маргурова Т.Х., Мартынова О.И.** Водные режимы тепловых и атомных электростанций. М.: Высшая школа, 1981.
- 3. А. с. 876789 СССР. 1981. БИ № 40.**
- 4. Руководящие** указания по стабилизационной обработке охлаждающей воды в оборотных системах охлаждения с градирнями оксиэтилиденфосфоновой кислотой. М.: СПО «Союзтехэнерго», 1981.
- 5. Циборовский Я.** Основы процессов химической технологии / Пер. с польского под ред. П.Г. Романко-ва. Л.: Химия, 1967.